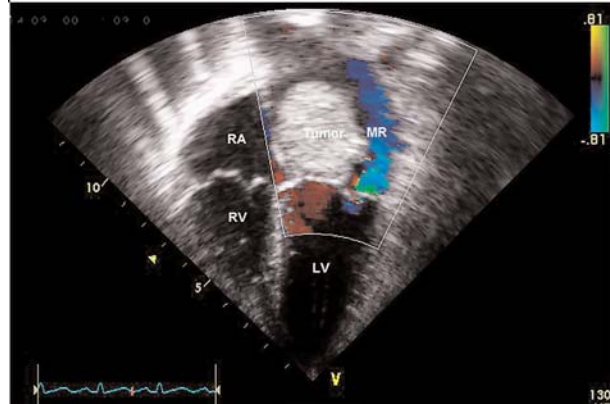


λή, προκαλώντας απόφραξη της διαμιτροειδικής ροής με μέγιστη κλίση πίεσης 25 mmHg και μέση 10 mmHg, και τουλάχιστον δευτέρου βαθμού ανεπάρκεια αυτής (Εικόνες 1 και 2). Η τριγλώχινα βαλβίδα παρουσίαζε 1ου προς κυρίως 2ου βαθμού ανεπάρκεια, η ταχύτητα του jet της οποίας αντιστοιχούσε σε κλίση πίεσης μεταξύ δεξιάς κοιλίας και δεξιού κόλπου της τάξης των 75-80 mmHg. Η συσταλτικότητα και οι διαστάσεις αμφότερων των κοιλιών ήταν σε φυσιολογικά επίπεδα όπως και η δομή και η ροή των μηνοειδών βαλβίδων.

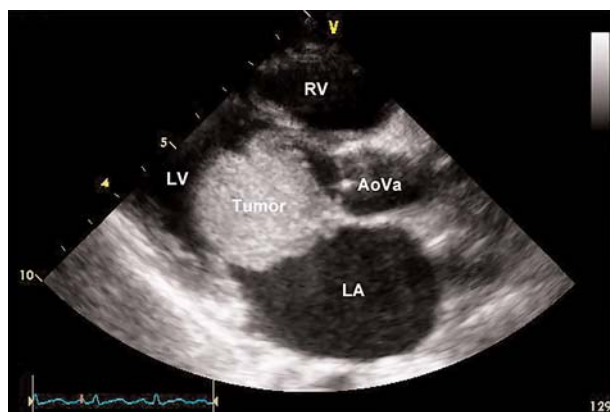
Έλεγχος της ασθενούς με μαγνητική τομογραφία καρδιάς επιβεβαίωσε τα ανωτέρω ευρήματα. Δεδομένων των κλινικών και κυρίως των υπερηχοκαρδιογραφικών ευρημάτων της ασθενούς με την απόφραξη της διαμιτροειδικής ροής και των αυξημένων πιέσεων στη δεξιά κοιλία, η ασθενής οδηγήθηκε επειγόντως στο χειρουργείο όπου και αφαιρέθηκε επιτυχώς μάζα μεγέθους 30 mm, με ιστολογική επιβεβαίωση της διάγνωσης του καλοήθους μυξώματος (Εικόνα 3). Η ασθενής παρουσίασε ομαλή μετεγχειρητική πορεία παίρνοντας εξιτήριο μία εβδομάδα μετά την επέμβαση και εξί μήνες μετεγχειρητικά παραμένει ασυμπτωματική, με φυσιολογική εξέταση και φυσιολογικό ηλεκτροκαρδιογράφημα. Υπερηχοκαρδιογραφικά δεν υπάρχουν ενδείξεις νέων μαζών ενδοκαρδιακά, παραμένει με αμελητέα διαφυγή της μιτροειδούς βαλβίδας και οι πιέσεις στη δεξιά κοιλία είναι φυσιολογικές.

Συζήτηση

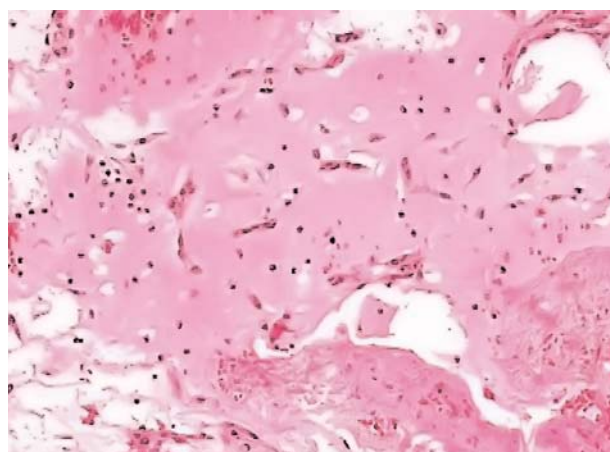
Τα καρδιακά μυξώματα εμφανίζονται σπανιότερα στα παιδιά απ' ότι στους ενήλικες, σε ποσοστό 5% έως και 10% των όγκων, κυρίως σε μεγάλα παιδιά και εφήβους.^{1,2} Δημιουργούνται από το ενδοκάρδιο, σχηματίζοντας συνήθως εξωφυτικούς όγκους με εντόπιση κυρίως στον αριστερό κόλπο (ποσοστό 75%) κοντά στο βόθρο του ωοειδούς τρήματος, ή στο μιτροειδικό δακτύλιο, πιο σπάνια στο δεξιό κόλπο, σπανιότερα στις κοιλίες και σπανιότατα στις τενόντιες χορδές η επι των βαλβίδων. Στα παιδιά μυξώματα έχουν περιγραφεί σε όλες τις προανεφερθείσες θέσεις, από τη νεογνική έως την εφηβική ηλικία.^{3,4,8,9} Πολλαπλές εντοπίσεις μπορεί να υπάρχουν στην περίπτωση του μυξοματοειδούς συνδρόμου (Carney complex), όπου τα μυξώματα μπορεί να συνυπάρχουν με δερματικές βλάβες (cutaneous lentiginosis), αδενώματα της υπόφυσης η των επινεφριδίων και σύνδρομο Cushing.⁵ Το μυξοματοειδές σύνδρομο εμφανίζεται συνήθως σε νεώτερους ασθενείς



Εικόνα 1. Υπερηχοκαρδιογραφική λήψη τεσσάρων κοιλοτήτων. Απεικονίζεται το μυξώματα στον αριστερό κόλπο κατά τη διάρκεια της συστολής καθώς και η ανεπάρκεια της μιτροειδούς βαλβίδας. RA: δεξιός κόλπος, RV: δεξιά κοιλία, LV: αριστερά κοιλία, Tumor: όγκος, MR: ανεπάρκεια μιτροειδούς.



Εικόνα 2. Υπερηχοκαρδιογραφική απεικόνιση κατά το μακρύ άξονα της αριστεράς κοιλίας. LA: αριστερός κόλπος, LV: αριστερά κοιλία, Tumor: όγκος, RV: δεξιά κοιλία, AoVa: αορτική βαλβίδα.



Εικόνα 3. Ιστολογικό παρασκεύασμα από τον αφαιρεθέντα όγκο με χρώση ηωσίνης – αιματοξύλινης. Παρατηρούνται άφθονα κύταρα μυξώματος που βρίσκονται διασκορπισμένα στο περιβάλλον μυξωματώδες και οιδηματώδες στρώμα.

Συμπέρασμα

Το καρδιακό μύξωμα είναι ένας σπάνιος όγκος στην παιδική ηλικία που μπορεί να προκαλέσει σημαντική νοσηρότητα και θνητότητα λόγω των επιπλοκών του. Η υπερηχοαρδιογραφική εκτίμηση επιτρέπει την άμεση και σχετικά ακριβή διάγνωση του, ενώ η άμεση χειρουργική αφαίρεση του όγκου ενδείκνυται χυρίως στις περιπτώσεις με αιμοδυναμική επιβάρυνση λόγω του κινδύνου εμβολισμού και περαιτέρω αιμοδυναμικών επιπλοκών. Η πρόγνωση μετά από χειρουργική αφαίρεση είναι εξαιρετική και η τακτική μετεγχειρητική υπερηχοαρδιογραφική παρακολούθηση θα εξασφαλίσει την έγκαιρη ανίχνευση τυχόν υποτροπών της νόσου.

Ευχαριστίες

Ευχαριστούμε τον κύριο Λουκά Κακλαμάνη για την πολύτιμη βοήθειά του στην ιστολογική διάγνωση του όγκου και για τη χορήγηση της ιστοπαθολογικής εικόνας που συνοδεύει το παρόν άρθρο.

Βιβλιογραφία

1. Freedom RM, Lee KJ, Taylor G. Selected aspects of cardiac tumors in infancy and childhood. *Pediatr Cardiol.* 2000; 21: 299-316.
2. Beghetti M, Gow R, Haney I, Mawson J, et al. Pediatric primary benign cardiac tumors: A 15-year review. *AHJ* 1997.
3. Dianzumba SB, Char G. Large calcified right atrial myxoma in a newborn. Rare cause of neonatal death. *Br Heart J.* 1982; 48: 177-179.
4. Kutay V, Yakut C, Ekim H. Mitral annular tumors: Report of two cases in childhood. *J Card Surg.* 2006; 21: 191-194.
5. Basson CT, MacRae CA, Korf B, Merliss A. Heterogeneity of familial atrial myxoma syndromes (Carney complex). *Am J Cardiol.* 1997; 79: 994-995.
6. Bayir H, Morelli P, Smith T, Biancaniello T. A left atrial myxoma presenting as a cerebrovascular accident. *Pediatric Neurology* 1999; 21: 569-572.
7. Omeroglu RE, Olgar S, Nisli K, Emalci T. Recurrent hemiparesis due to anterior mitral leaflet myxomas. *Pediatric Neurology*. 2006; 34: 490-494.
8. Cilliers AM, van Unen H, Vanderdonck KH, Hartman E. Massive batrial myxoma in a child. *Pediatr Cardiol.* 1999; 20: 150-151.
9. Kern JH, Aguilera FA, Carlson DL, Galantowicz M. Right ventricular myxoma obstructing the right ventricular outflow tract. *Circ.* 2000; 102: e14.
10. Hövels-Gürich HH, Segahaye M-C, Amo-Takyi, Hügel W, et al. Cardiac myxoma in a 6-year-old child – constitutional symptoms mimicking rheumatic disease and the role of interleukin-6. *Acta Paediatr.* 1999; 88: 786-788.
11. Shiraishi I, Yamagishi M, Kato R, et al. A case in a child of giant left-atrial myxoma associated with recurrent high fever and myxoma cells expressing interleukin-6. *Eur J Pediatr.* 2006; 165: 346-347.
12. Bennet KR, Gu JW, Adair TH, Heath BJ. Elevated plasma concentration of vascular endothelial growth factor in cardiac myxoma. *J Thorac Cardiovasc Surg.* 2001; 122: 193-194.
13. Casey M, Mah CM Merliss A, et al. Identification of a novel genetic locus for familial cardiac myxomas and Carney complex. *Circulation.* 1988; 98: 2560-2566.
14. Stratakis CA, Carney JA. Carney complex, a familial multiple lentiginosis syndrome. Analysis of 11 kindreds and linkage to the short arm of chromosome 2. *J Clin Invest.* 1996; 97: 699-705.
15. Hoffmann U, Globits S, Schima W, Loewe C, Puig S, et al. Usefulness of magnetic resonance imaging of cardiac and paracardiac masses. *Am J Cardiol.* 2003; 92: 890-895.
16. Kiaffas MG, Powell AJ, Geva T. Magnetic resonance imaging evaluation of cardiac tumor characteristics in infants and children. *AJC* 2002; 89: 1229-1232.
17. Bjessmo S, Ivert T. Cardiac myxoma: 40 years' experience in 63 patients. *Ann Thorac Surg.* 1997; 63: 697-700.
18. Selkane C, Amahzoune B, Chavanis N, Raisky O, et al. Changing management of cardiac myxoma based on a series of 40 cases with long-term follow-up. *Ann Thorac Surg.* 2003; 1935-1938; 1935-1938.